

机械传动及曲柄压力机

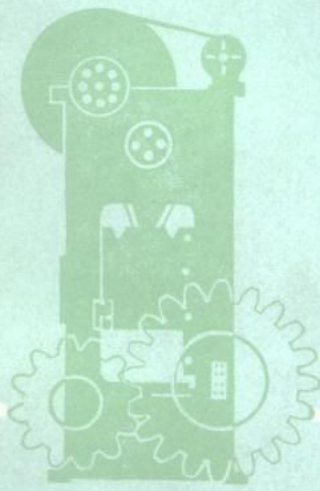
上册

# 机械传动及曲柄压力机

JIXIE CHUANDONG JI QUBINGYALIJI

上 册

华中工学院等五院(校)《机械传动及曲柄压力机》编写组编



人民教育出版社

# 机械传动及曲柄压力机

上 册

华 中 工 学 院 等 五 院 (校)  
《机械传动及曲柄压力机》编写组编

\*

人 民 印 刷 社 出 版  
新 华 书 店 北 京 发 行 所 发 行  
人 民 印 刷 社 印 刷 厂 印 装

\*

1976年5月第1版 1977年3月第1次印刷  
书号 15012·014 定价 1.40元

## 编者的话

无产阶级文化大革命以来，遵照伟大领袖毛主席关于“教育要革命”、“课程设置要精简”、“教材要彻底改革”的教导，我们在教育革命实践中，深入批判了修正主义教育路线，批判了旧的课程体系和旧教材，并深入工厂实际认真进行调查研究，根据三大革命运动和开门办学的实际需要，把无产阶级文化大革命以前锻压专业设置的《机械原理》、《机械零件》和《曲柄压力机》三门课程有机地组合在一起，设置了《机械传动及曲柄压力机》一门新课，并编写了新教材。几年来，一些院校在开门办学实践中对新教材进行了试用，取得了较好的效果。最近，我们对该教材又进行了修订。

在编写和修订教材过程中，我们认识到，编写新教材应坚决贯彻“教育必须为无产阶级政治服务，必须同生产劳动相结合”的方针，努力把学员培养成为有社会主义觉悟的有文化的劳动者。在这个思想的指导下，我们从以下几方面作了一些努力：

1. 批判修正主义教育路线，批判旧教材宣扬的资产阶级、修正主义思想和唯心论、形而上学等谬论，努力以毛主席的《实践论》、《矛盾论》的观点作统帅，用辩证唯物主义占领学科阵地。书中介绍的曲柄压力机基本上是无产阶级文化大革命以来设计、制造的新产品，体现了我国工人阶级的创造精神；所采用的设计计算方法和数据，大都按照我国新型曲柄压力机的具体情况，根据在生产斗争中的实践经验，进行了核实修改，设计计算方法力求简明扼要；同时又根据“洋为中用”的原则，反映了世界先进技术。

2. 使理论密切联系实际，有利于培养学员分析问题和解决问题的能力。《机械原理》、《机械零件》和《曲柄压力机》都是阐述机械传动的原理和设计、计算方法的课程，我们努力将它们有用的内容有机地组合在一起，结合典型的锻压机械的具体条件和要求，讲述机械传动的理论和设计、计算方法，做到理论联系实际，便于学员结合实践学习，提高分析问题和解决问题的能力。

3. 按照辩证唯物论的认识论组织教材内容。曲柄压力机是一种典型的机械传动的锻压设备，包含有一般机械常用的各种机构和零部件，我们将《曲柄压力机》与《机械原理》和《机械零件》的有用内容组合在一起，从曲柄压力机这种典型机械入手，讲述机械传动的一般规律和设计、计算方法，便于学员从特殊到一般，深入理解和掌握机械传动的有关知识。

4. 精简课程。新课程将原来三门课程的有用内容穿插在一起，互相衔接，密切联系，避免了旧教材中的烦琐哲学和内容的重复、割裂、脱节等弊病。

本书分上、下两册。上册内容包括：曲柄压力机工作原理和主要参数，曲柄滑块机构的运动分析和受力分析，齿轮传动，皮带传动，轴和轴承，连杆、滑块和导轨。下册内容包括：离合器、制动器及联轴节，机身，曲柄压力机的辅助装置，电动机功率和飞轮尺寸，曲柄压力机的总体设计，曲柄压力机及其它锻压机械中的常用机构，各类型曲柄压力机简介和曲柄压力机的发展趋向。

由于我们对马列著作和毛主席的著作学习不够，认识水平不高，本书一定还存在不少缺点和错误，请读者批评指正。

参加本书编写的有：华中工学院，天津大学，北京工业大学，合肥工业大学和重庆大学等院（校）的有关同志。

一九七六年四月

# 目 录

<b>第一章 曲柄压力机工作原理和主要参数</b>	<b>1</b>
§ 1-1 曲柄压力机工作原理	1
§ 1-2 曲柄压力机的主要参数和型号	8
<b>第二章 曲柄滑块机构的运动分析和受力分析</b>	<b>10</b>
§ 2-1 滑块的位移与曲柄转角的关系	10
§ 2-2 滑块的速度与曲柄转角的关系	13
§ 2-3 曲柄、连杆和滑块所受的力	15
<b>第三章 齿轮传动</b>	<b>22</b>
§ 3-1 保证齿轮传动平稳的条件	23
§ 3-2 齿轮传动的主要参数和尺寸计算	29
§ 3-3 渐开线齿轮的加工方法	36
§ 3-4 渐开线齿轮的根切现象和最少齿数	39
§ 3-5 变位齿轮的种类和尺寸计算	40
§ 3-6 圆柱齿轮传动的精度选择和公差确定	51
§ 3-7 直齿圆柱齿轮的强度设计	67
§ 3-8 变位系数的选择	83
§ 3-9 直齿圆柱齿轮设计计算表格	90
§ 3-10 斜齿圆柱齿轮传动	100
§ 3-11 圆锥齿轮传动	116
§ 3-12 蜗杆传动	125
<b>第四章 皮带传动</b>	<b>146</b>
§ 4-1 皮带传动工作原理	146
§ 4-2 皮带传动的设计计算方法	149
§ 4-3 三角皮带轮的结构和皮带的张紧装置	154
<b>第五章 轴和轴承</b>	<b>159</b>
§ 5-1 轴的设计	159
§ 5-2 滑动轴承设计	185
§ 5-3 滚动轴承的选用与组合设计	190
<b>第六章 连杆、滑块和导轨</b>	<b>210</b>
§ 6-1 连杆及封闭高度调节装置	210
§ 6-2 滑块、导轨和平衡器	224
§ 6-3 超载保险装置	232
<b>附 表</b>	<b>234</b>

# 第一章 曲柄压力机工作原理和主要参数

“社会的财富是工人、农民和劳动知识分子自己创造的。”曲柄压力机是劳动人民在三大革命运动实践中创造的、用来进行冲压和锻造生产的一种机器。它的类型虽然很多，但“矛盾的普遍性即寓于矛盾的特殊性之中”，“就人类认识运动的秩序说来，总是由认识个别的和特殊的事物，逐步地扩大到认识一般的事物。”因此，我们以 JA31-160B 型通用压力机(图 1-1)为例，来说明曲柄压力机的工作原理和主要参数。

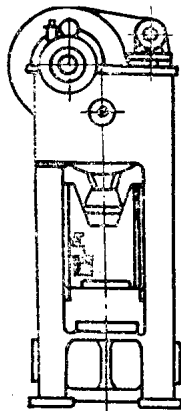


图 1-1 JA 31-160 B 型曲柄压力机外形图

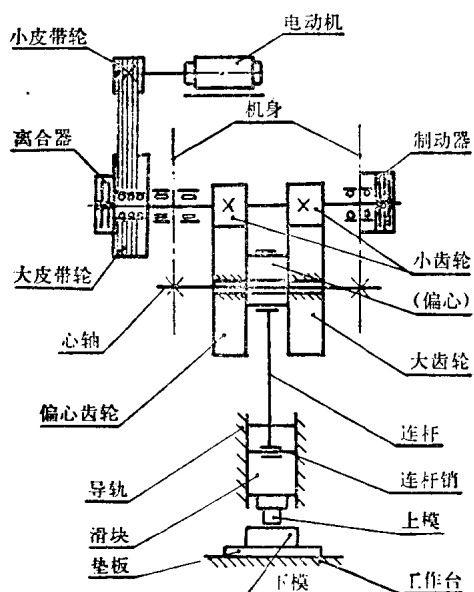
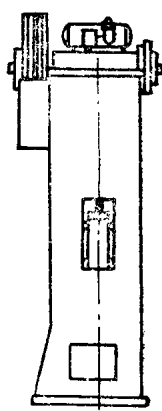


图 1-2 JA31-160 B 型曲柄压力机的传动示意图

## § 1-1 曲柄压力机工作原理

图 1-2 是 JA31-160B 型曲柄压力机的传动示意图。电动机经小皮带轮、大皮带轮和一对大齿轮，带动偏心齿轮(铸有偏心的大齿轮，通常称为偏心齿轮)和大齿轮绕固定在机身上的心轴旋转。偏心齿轮又通过它上面的偏心和连杆，带动滑块在机身的导轨内上、下移动。加工用的模具，上模固定在滑块的下平面上，下模固定在工作台面的垫板上。因此，滑块每上下移动一次，完成一次冲压动作。

从这个例子来看，曲柄压力机的主要组成部分为：

- (1) 由偏心、连杆和滑块组成的工作机构；
- (2) 由电动机、皮带轮、皮带和齿轮等组成的传动系统；

(3) 机身。

## 一、工作机构

由于锻压工艺要求滑块作直线往复运动，而作为动力的电动机却是作旋转运动，因此，需要一套机构，将旋转运动转变为直线往复运动。图 1-3 中的偏心、连杆和滑块组成的工作机构，就是起这个作用的。

有些曲柄压力机，特别是小型曲柄压力机，采用曲轴（图 1-4）代替图 1-3 中的偏心和心轴，同样可以将旋转运动转变为滑块的直线往复运动。

图 1-3 和图 1-4 在结构上虽然差别较大，但它们的工作原理是相同的。图 1-3 中的两个齿轮和心轴的中心到偏心中心的距离，相当于图 1-4 中的曲轴中心到曲柄颈中心的距离，这个距离通常都叫做曲柄半径，并用  $R$  表示。图 1-3 和图 1-4 所示的工作机构，叫做曲柄滑块机构。工作台面较窄的压力机，采用一套曲柄连杆，它对滑块只有一个加力点，叫做单点压力机；工作台面左右较宽的压力机，采用两套曲柄连杆，它们对滑块有两个加力点，叫做双点压力机；工作台面左右和前后都较宽的压力机，采用四套曲柄连杆，它们对滑块有四个加力点，叫做四点压力机。

图 1-3 和图 1-4 所示的工作机构可以用示意图 1-5 来表示。图中  $OA$  代表曲柄半径； $AB$  代表连杆长度，对图 1-3 所示连杆销传力的连杆，这个长度是连杆大端中心到连杆销中心的距离，对图 1-4 所示圆球面传力的连杆，这个长度是连杆大端中心到球头中心的距离。当  $A$  点转到下极限位置  $A_1$  时，曲柄和连杆成一条直线，连杆销（或球头）中心到达下极限位置  $B_1$  点，即滑块移到了下极限位置（又称下死点）。当  $A$  点转到上极限位置  $A_2$  时，曲柄与连杆重合，连杆销（或球头）中心到达上极限位置  $B_2$  点，即滑块移到了上极限位置（又称上死点）。 $B_1B_2$  代表滑块的行程，常用  $S$  表示。从图上可以看出，滑块的行程是曲柄半径的两倍，即：

$$S = 2R$$

当滑块处于下死点位置时，滑块下平面离工作台上平面（不是到垫板的上平面）的高度，叫做压力机的封闭高度，这个尺寸应与模具的高度相适应。为了使压力机适应于不同高度的模具，和便于模具的安装调整，压力机的封闭高度应能进行调整。JA31-160 B 型曲柄压力机的封闭高度，用图 1-6 所示的装置调整。

电动机经一级圆锥齿轮传动并由蜗杆带动蜗轮转动。蜗轮本身又是螺母，它安装在滑块内，上端被滑块上的导向套筒挡住，只能在滑块内转动，而不能相对于滑块作轴向移动。滑块经导向

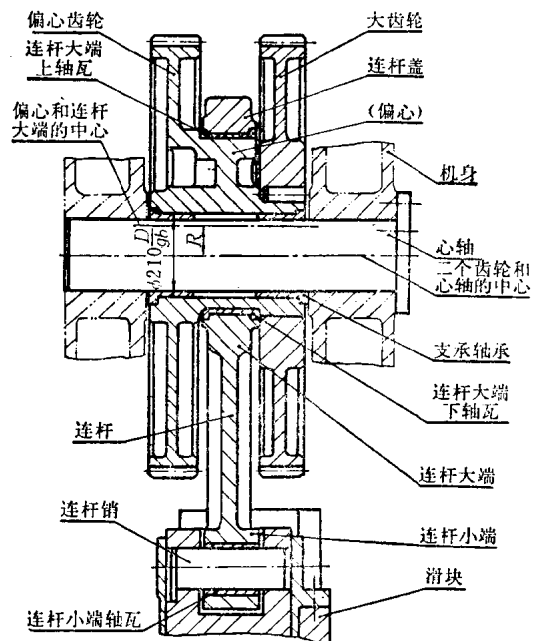


图 1-3 JA 31-160B 型曲柄压力机的工作机构

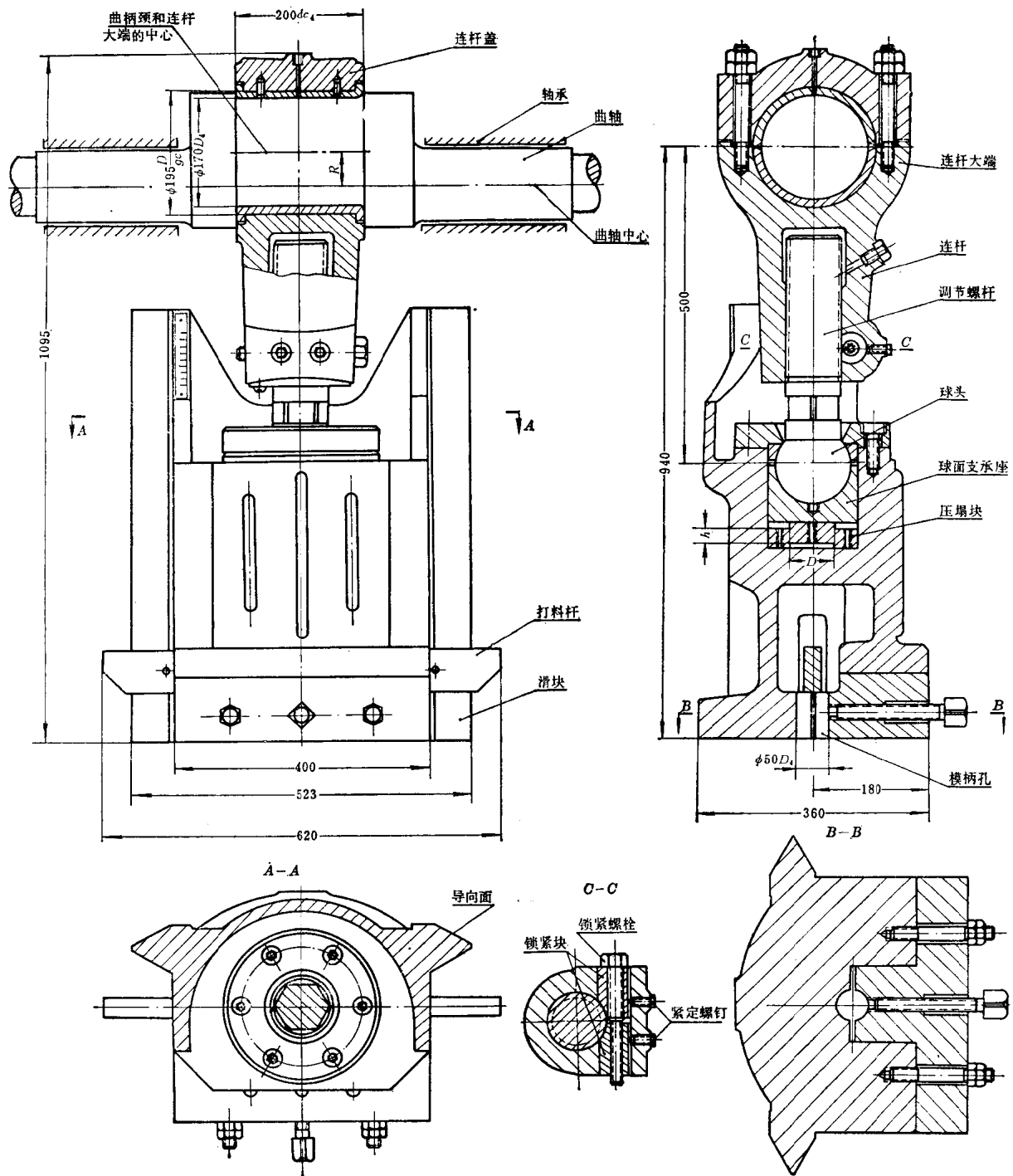


图 1-4 JB 23-63 型曲柄压力机的工作机构

套筒、蜗轮、调节螺杆和连杆销悬挂在连杆上。由于调节螺杆是用连杆销连接在连杆上的，蜗轮转动时，便带动滑块相对连杆上下移动，于是封闭高度得到调整。

## 二、传动系统

曲柄压力机的传动系统按传动级数可分为单级、两级和多级传动。图 1-2 所示的 JA31-160B 型曲柄压力机为两级传动，第一级是皮带传动，第二级是齿轮传动(偏心两边都有齿轮的双边传动)。

“对于物质的每一种运动形式，必须注意它和其他各种运动形式的共同点。但是，尤其重要的，成为我们认识事物的基础的东西，则是必须注意它的特殊点”。曲柄压力机的传动系统有下述特点：

### 1. 采用了飞轮

JA31-160B 型曲柄压力机虽然采用一般三角皮带传动，但大皮带轮轮缘的宽度和厚度比一般的三角皮带轮大。为什么曲柄压力机的皮带轮要做成这样呢？这是由曲柄压力机的负荷性质决定的。

当曲柄旋转一圈，滑块上、下往返一次时，滑块只在上模接触坯料后到冲压出工件这段工作行程中(通常还不到曲柄旋转的  $1/4$  圈)，才承受负荷，而在其余空行程中，不承受负荷。此外，在手工操作时，滑块每完成一次工作后，还有一段停顿时间，以便操作者取出工件和送料。这样，滑块承受负荷的时间，相对于不承受负荷的时间来说，就更短了。压力机的负荷时间虽然很短，但承受的负荷却很大，在短时间里消耗的能量也很多。所以，曲柄压力机的负荷特点是：短期的高峰负荷和较长期的空负荷互相交替。如果按照工作行程所需要的功率来选用电动机，要求的功率则会很大，而用大功率的电动机，又只是在很短的工作行程时间内才满负荷，大部分时间负荷很小，这样就造成浪费。为了解决这个矛盾，把皮带轮轮缘加宽加厚，增大它的转动惯量，使它在滑块不承受负荷时，转速升高，动能增大；而在压力机工作行程时，转速下降，释放出能量，从而大大减少电动机所需的功率，可以选用较小功率的电动机。这种起储存能量和释放能量作用的轮子，叫做飞轮。

### 2. 装设了离合器和制动器

由于工艺上要求滑块每往返一次后，能够在上死点附近停下来，以便取出工件和送料，同时在调整模具时也需要滑块作少量移动。所以，压力机的传动系统中，一般都有一个离合器和一个制动器。JA31-160B型曲柄压力机的离合器装在大皮带轮内，制动器装在空心轴的右端(图 1-7)。下面介绍离合器和制动器的工作情况。

离合器由主动部分、从动部分、使主动与从动部分接合的连接零件以及操纵机构四部分组成。主动部分包括大皮带轮、离合器内齿圈、主动摩擦片、气缸、活塞和推杆等；从动部分包括从动摩擦片(两片)和齿轮 1 等；使主动部分与从动部分接合的连接零件是主动摩擦片(它又是主动部分的一个零件)和从动摩擦片(它又是从动部分的一个零件)；操纵机构包括气缸、活塞(两者均

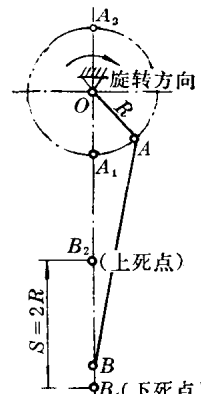


图 1-5 曲柄滑块机构示意图

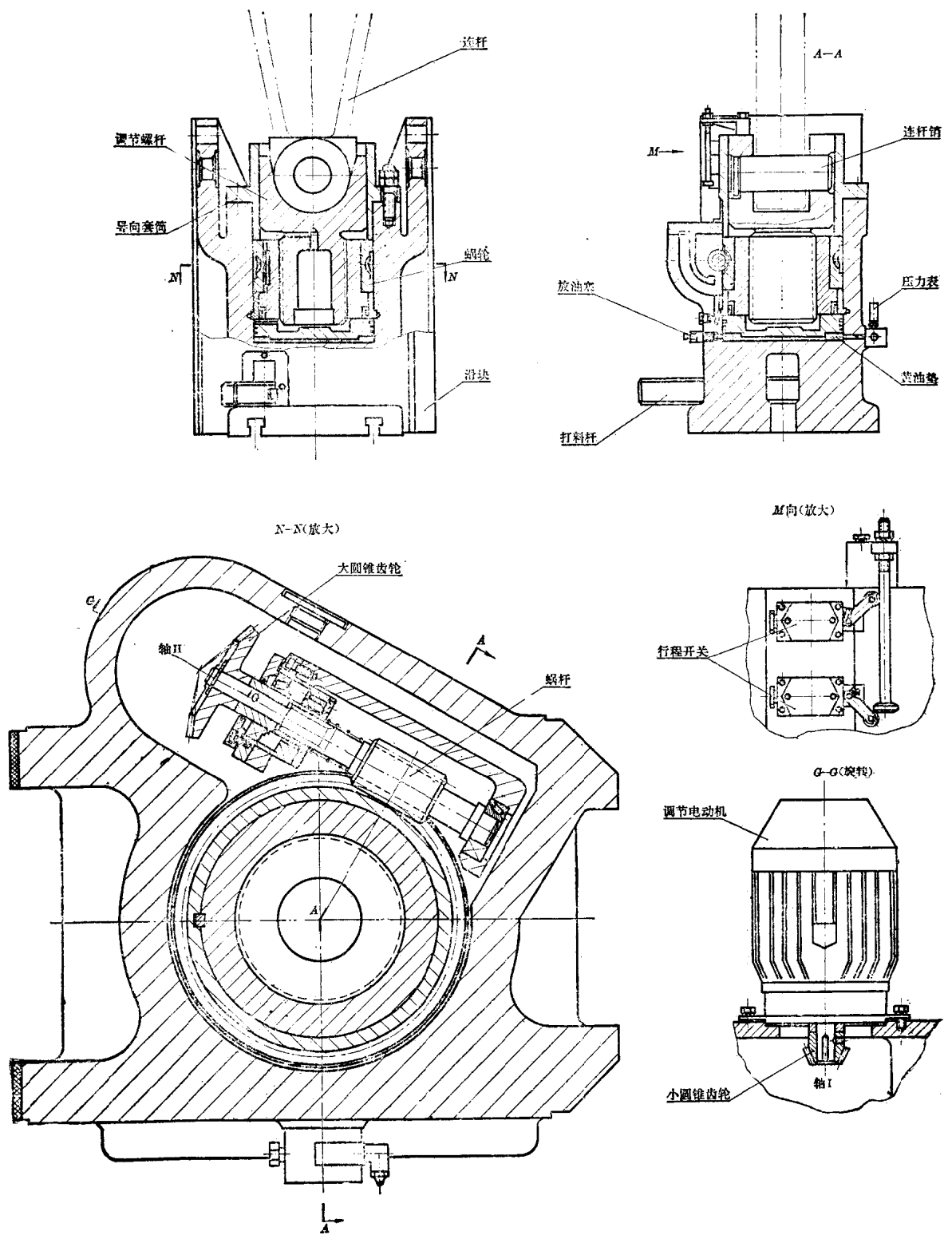
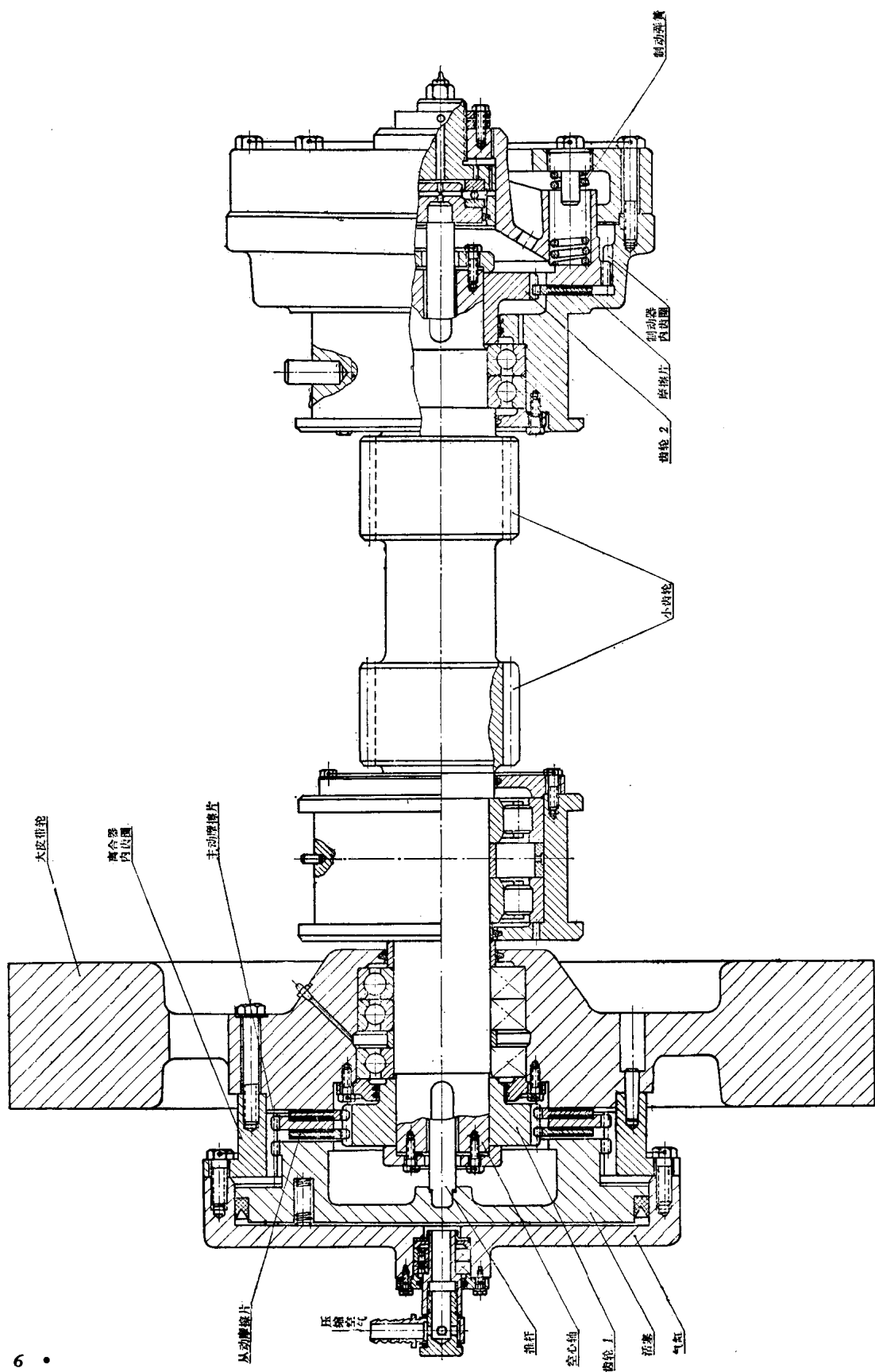


图 1-6 JA31-160B 型曲柄压力机的封闭高度调节装置

图 1-7 JA31-160B 型曲柄压力机的离合器和制动器



为主动部分的零件)和压缩空气控制系统(图 1-7 中未画出)。主动摩擦片的外缘有齿, 套在和大皮带轮(飞轮)相连的离合器内齿圈上, 它一方面随着大皮带轮旋转, 另一方面还能作轴向移动。从动摩擦片的内缘有齿, 套在齿轮 1 上, 既能与空心轴一同旋转, 又能作轴向移动。由于大皮带轮安装在滚动轴承上, 当主动摩擦片和从动摩擦片没有压紧前, 大皮带轮空转, 空心轴不转动。要使空心轴随大皮带轮一道旋转, 必须向气缸内通入压缩空气, 使活塞向右移动并压紧主动摩擦片和从动摩擦片, 依靠主动摩擦片和从动摩擦片之间的摩擦力带动空心轴旋转。所以, 这种离合器叫做气动摩擦离合器。

制动器的构造和离合器相似, 所不同的是它的内齿圈固定在机身上, 因而摩擦片被压紧后, 产生制动作用, 空心轴就不能旋转了。压紧力由制动弹簧产生。

离合器和制动器的动作要协调。离合器接合前, 制动器应先松开; 制动器接合前, 离合器应先松开。它们之间的配合, 是由空心轴内的推杆来实现的。

离合器和制动器的动作由电磁空气分配阀(图 1-7 中未画出)来控制。电磁空气分配阀通电开启后, 压缩空气进入离合器气缸, 向右推动活塞, 空心轴内的推杆向右移动, 压缩制动弹簧, 于是制动器松开, 失去制动作用; 而离合器的主动摩擦片和从动摩擦片被压紧, 大皮带轮带动空心轴、小齿轮、偏心齿轮和大齿轮旋转, 滑块也就跟着上、下移动。电磁空气分配阀断电后, 离合器的气缸与大气连通, 在制动弹簧的作用下, 空心轴内的推杆推动活塞向左移动, 摩擦离合器松开, 制动器的摩擦片被压紧, 产生制动作用, 于是大皮带轮在空心轴上空转, 而空心轴、连杆和滑块便停住。所以, 只要控制电磁空气分配阀的电路, 就能使滑块移动或静止。

### 3. 可以按以下几种行程规范动作

由于工艺操作上的要求, 滑块可以实现以下几种动作:

(1) 单次行程。按下启动按钮或踏上脚踏控制开关后, 电磁空气分配阀通电, 气缸进气, 制动器松开, 离合器接合, 电动机经飞轮、小齿轮, 带动偏心齿轮和大齿轮旋转, 滑块下行并完成冲压工作。随后滑块返回, 当它到达上死点以前, 电磁空气分配阀自动断电, 气缸排气, 离合器松开, 制动器接合, 产生制动作用, 滑块便停止在上死点附近。曲柄压力机以单次行程工作时, 即使不松开启动按钮或脚踏控制开关, 滑块也只能进行一次行程。要继续开动压力机, 必须松开后再次按下启动按钮或踏上脚踏控制开关。当用手工送料和取出工件时, 一般以单次行程工作。这样可以防止连冲现象, 以免发生人身事故或损坏模具、压力机和加工好的工件。

(2) 连续行程。当压力机以连续行程工作时, 按下启动按钮或踏上脚踏控制开关, 滑块便不停歇地上、下移动。要待按下停止按钮后, 滑块才能停止在上死点附近。

(3) 寸动行程。在调整机器和安装模具时, 常常需要滑块作少量移动, 这种行程动作称为寸动行程。按下寸动行程按钮, 制动器松开, 离合器接合, 滑块移动; 松开寸动行程按钮, 离合器松开, 制动器接合, 滑块停住。滑块的移动量, 由按下按钮时间的长短而定。

## 三、机身

JA31-160B 型曲柄压力机的机身(见图 1-1), 左右两侧各有一立柱, 操作者只能从机身前后

方向接近模具，这种机身叫做闭式机身，这种压力机又叫做闭式曲柄压力机。有的曲柄压力机，机身做成C形（见图1-8），操作者能从左、右和前面接近模具，称为开式机身，这种曲柄压力机又称为开式曲柄压力机。

曲柄压力机除了上述三个主要组成部分外，还有控制系统和润滑等辅助装置，这些部分将在以后有关章节中介绍。

## § 1-2 曲柄压力机的主要参数和型号

### 一、曲柄压力机的主要参数

1. 公称压力  $P_g$ (吨)。曲柄压力机的公称压力，又称额定压力，它是指滑块离下死点前某一特定距离(此特定距离称为公称压力行程  $S_p$ )，或曲柄旋转到离下死点前某一特定角度(此特定角度称为公称压力角  $\theta_p$ )时，滑块上所允许的最大作用力。例如JA31-160B型曲柄压力机的公称压力为160吨，它是指滑块离下死点前8.12毫米(相当公称压力角  $\theta_p=25^\circ$ )时，滑块上所允许的最大作用力。

公称压力是压力机的一个主要参数，是设计压力机的基本数据。我国压力机的公称压力已经有了标准，它是按公比为  $\sqrt[5]{10} \approx 1.6$  或  $\sqrt[10]{10} \approx 1.25$  的等比级数分级排列的，例如4、6.3、10、16、25、40、63、80、100、125、160、200、250、315、400、630、800、1000……吨。这个标准是从生产实践中归纳整理后制订的，既能满足生产需要，又不致使曲柄压力机的规格过多，给制造带来困难。

一些国家的公称压力行程(或公称压力角)的值见表1-1。

表1-1 公称压力行程  $S_p$ (或公称压力角  $\theta_p$ )的值

国 别	冲 压 类 压 力 机		锻 造 类 压 力 机	曲 柄 肘 杆 式 精 压 机
中 国	闭式单点压力机 $S_p=13$ 毫米*		$\theta_p=2^\circ \sim 5^\circ$	$S_p=0.5 \sim 5$ 毫米
美 国	开式压力机 $S_p=\frac{1}{32}''$ (0.8 毫米) $\sim \frac{1}{4}''$ (6.4 毫米)	闭式压力机 $S_p=\frac{1}{4}''$ (6.4 毫米) $\sim \frac{1}{2}''$ (12.7 毫米)		
日 本	一般压力机 $S_p=3$ 毫米~13 毫米	大扭矩压力机 $S_p=15$ 毫米~25 毫米	$S_p=5$ 毫米	
德 国	$\theta_p=0^\circ \sim 30^\circ$ (一般压力机 $\theta_p=30^\circ$ )			$S_p=5$ 毫米
苏 联	通用压力机 $\theta_p=10^\circ \sim 30^\circ$	双动压力机 $\theta_p=10^\circ \sim 20^\circ$	$\theta_p=3^\circ \sim 5^\circ$	$\theta_p=50^\circ \sim 60^\circ$ , $S_p=3$ 毫米

\* 1975年一机部“闭式压力机、切边压力机参数标准审查会”制定。

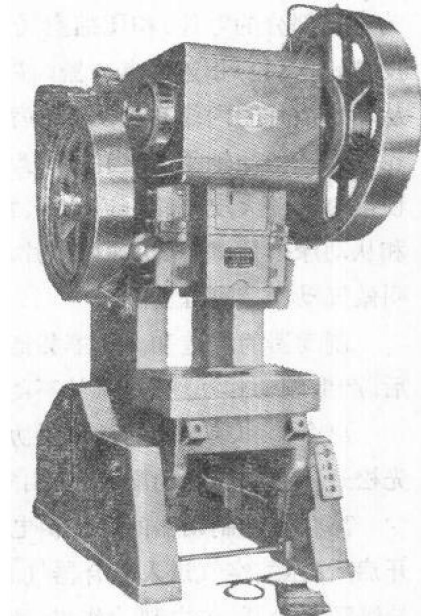


图1-8 JG23-63型开式曲柄压力机

2. 滑块行程  $S$  (毫米)。曲柄压力机的滑块行程，是指滑块从上死点到下死点所经过的距离，它的大小随工艺用途和公称压力不同而不同。冲裁、浅拉延和精压用曲柄压力机的行程较小；深拉延压力机的行程较大。JA31-160B型曲柄压力机的滑块行程为160毫米。

3. 滑块每分钟行程次数  $n$ (次/分)。它是指滑块每分钟走过的行程次数(滑块从上死点到下死点，然后再回到上死点称为一次)。JA31-160B型曲柄压力机，滑块每分钟行程次数为32(次/分)。

4. 最大封闭高度  $H$ (毫米)。它是指滑块在下死点、且封闭高度调节装置将滑块调整到最上位置时，滑块下平面离工作台上平面的高度。JA31-160B型曲柄压力机的最大封闭高度为480毫米，封闭高度的调节量为120毫米。

5. 最大装模高度  $H_1$ (毫米)。它是指滑块在下死点、且调节装置将滑块调整到最上位置时，滑块下平面离工作台垫板上平面的高度。显然， $H$ 与  $H_1$ 的差值即为工作台垫板的厚度。JA31-160B型曲柄压力机的最大装模高度为375毫米。

除了上述主要参数以外，尚有工作台和滑块尺寸等参数，这里就不一一列举了。

## 二、曲柄压力机的型号

曲柄压力机的型号用汉语拼音字母和数字表示。例如JA31-160B型曲柄压力机的型号是：



现将型号的表示方法叙述如下：

按照我国锻压机器分类方法，锻压机器共分为机械压力机、液压机等八类，拼音字母J表示第一类锻压机器——机械压力机，这一类包括主要类型的曲柄压力机，此外，在第三、第五、第六和第七类中也都包括有曲柄压力机。

主要参数与基本型号相同，只是次要参数与基本型号不同的，称为变型，在原型号的字母后加一个拼音字母A、B、C…等表示，依次表示第一、第二、第三……种变型。

在八类锻压机器中，每类又分十列，每列又分十组。字母后的第一位数字和第二位数字分别代表列和组。闭式单点压力机属于第三列第一组，所以写成“31”。

对型号已确定的锻压机器，若在结构上和性能上有所改进，则在原型号末端加一个字母A、B、C…等，依次表示第一、第二、第三……次改进。

## 第二章 曲柄滑块机构的运动分析和受力分析

锻压机械的工作机构是完成工艺需要的主要动作的机构，它直接对工件施加变形力。因此，设计机器的时候，必须首先分析工作机构的运动和受力情况，以便检验它是否满足要求，并为其它部分的设计提供必要的依据。对于曲柄压力机上常用的工作机构——曲柄滑块机构，运动分析的主要任务是确定滑块位移、速度与曲柄转角等参数之间的关系，受力分析的主要任务是确定连杆、滑块上承受的作用力和偏心齿轮（或曲轴）所需传递的扭矩。

### §2-1 滑块的位移与曲柄转角的关系

“一切客观事物本来是互相联系的和具有内部规律的”，滑块经连杆与曲柄连接，因此，滑块的位移与曲柄转角之间存在一定的规律，这个规律可由它们之间的几何关系得出。

图 2-1 是曲柄滑块机构处于任意位置时的情况。 $R$  表示曲柄半径， $L$  表示连杆长度。 $\theta$  表示曲柄的转角，习惯上由曲柄最低位置（相当于滑块在下死点）、沿曲柄旋转的相反方向计算。 $B$  点表示连杆小端的中心，也是滑块上的一点，所以  $B$  点的位移可以代表滑块的位移。若以滑块的下死点  $B_1$  作为计算的原点，那末在任意位置时滑块的位移为：

$$\begin{aligned} S_B &= \overline{OB}_1 - \overline{OB} = \overline{OB}_1 - (\overline{OA}' + \overline{A'B}) \\ &= (R+L) - (R\cos\theta + L\cos\beta) \\ &= R(1 - \cos\theta) + L(1 - \cos\beta) \\ &= R \left[ (1 - \cos\theta) + \frac{L}{R} (1 - \cos\beta) \right] \end{aligned}$$

令  $\frac{R}{L} = \lambda$  ——这个比值通常称为连杆系数，代入上式得：

$$S_B = R \left[ (1 - \cos\theta) + \frac{1}{\lambda} (1 - \cos\beta) \right] \quad (2-1)$$

式中  $\beta$  是连杆与中心线  $OB_1$  的夹角，它的值可以从三角形  $OAB$  中求得：

$$\sin\beta = \frac{\overline{AA'}}{L} = \frac{R\sin\theta}{L} = \lambda\sin\theta \quad (2-2)$$

因为  $\cos\beta = \sqrt{1 - \sin^2\beta}$ ，将上式代入得：

$$\cos\beta = \sqrt{1 - \lambda^2 \sin^2\theta}$$

上式代入式(2-1)得：

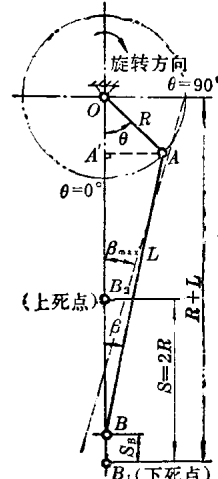


图 2-1 滑块位移与曲柄转角的关系

$$S_B = R \left[ (1 - \cos \theta) + \frac{1}{\lambda} (1 - \sqrt{1 - \lambda^2 \sin^2 \theta}) \right] \quad (2-3)$$

根据二项式公式, 可以将  $\sqrt{1 - \lambda^2 \sin^2 \theta}$  展开。由于  $\lambda$  一般小于 0.3, 展开后取前二项已有足够的精确度, 所以:

$$\sqrt{1 - \lambda^2 \sin^2 \theta} \approx 1 - \frac{1}{2} \lambda^2 \sin^2 \theta$$

将此代入式(2-3), 整理后得:

$$S_B = R \left[ (1 - \cos \theta) + \frac{\lambda}{4} (1 - \cos 2\theta) \right] \quad (2-4)$$

如果已知曲柄半径  $R$  和连杆系数  $\lambda$  时, 便可从上式求出对应于不同  $\theta$  角的  $S_B$  值。

[例] 已知 JA31-160B 型曲柄压力机的滑块行程  $S=160$  毫米, 连杆系数  $\lambda=0.0874$ , 求曲柄转角  $\theta=25^\circ$  时的滑块位移  $S_B$ 。

据式(2-4)求得位移为:

$$\begin{aligned} S_B &= R \left[ (1 - \cos \theta) + \frac{\lambda}{4} (1 - \cos 2\theta) \right] \\ &= \frac{160}{2} \left[ (1 - \cos 25^\circ) + \frac{0.0874}{4} (1 - \cos 2 \times 25^\circ) \right] \\ &\approx 8.12 \text{ 毫米} \end{aligned}$$

为了省去烦琐的计算, 我们将式(2-4)中方括号部分  $\left[ (1 - \cos \theta) + \frac{\lambda}{4} (1 - \cos 2\theta) \right]$  绘制成表 2-1。求滑块位移时, 可先根据连杆系数  $\lambda$  和曲柄转角  $\theta$ , 在表上查出对应的  $\left[ (1 - \cos \theta) + \frac{\lambda}{4} (1 - \cos 2\theta) \right]$  值, 然后将这个数值乘以曲柄半径  $R$  便是滑块位移  $S_B$  的值。

例如 JA31-160B 型曲柄压力机就可利用这个表求出  $\theta=0^\circ \sim 90^\circ$  (包括压力机的工作行程范围) 时的  $S_B$  值。现将查表所得的  $\left[ (1 - \cos \theta) + \frac{\lambda}{4} (1 - \cos 2\theta) \right]$  和最后计算所得的  $S_B$  值, 列在下面, 其中  $\lambda$  取近似值 0.09。据此绘出的  $S_B-\theta$  曲线如图 2-2 所示。

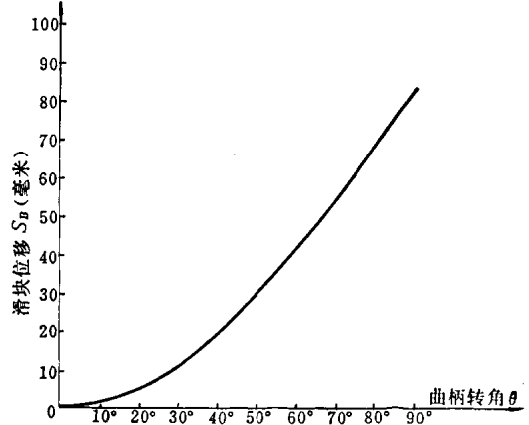


图 2-2 JA31-160B 型曲柄压力机滑块位移与曲柄转角的关系, 即  $S_B-\theta$  曲线

θ	$0^\circ$	$10^\circ$	$20^\circ$	$30^\circ$	$40^\circ$	$50^\circ$	$60^\circ$	$70^\circ$	$80^\circ$	$90^\circ$
$\left[ (1 - \cos \theta) + \frac{\lambda}{4} (1 - \cos 2\theta) \right]$ (查表 2-1)	0	0.0166	0.0656	0.1453	0.2526	0.3836	0.5338	0.6978	0.8700	1.0450
$S_B$ (毫米)	0	1.33	5.25	11.62	20.20	30.70	42.70	55.80	69.60	83.60

表 2-1  $(1 - \cos \theta) + \frac{\lambda}{4}(1 - \cos 2\theta)$  的值

$\lambda$	0.30	0.25	0.22	0.20	0.19	0.18	0.17	0.16	0.15	0.14	0.13	0.12	0.11	0.10	0.09	0.08	0.06	0.04	$\lambda$
$\theta$																			$\theta$
0°	0	0	0	0	0	0	0	0	0	0	0	0	0	0	0	0	0	0	0°
5°	0.0049	0.0048	0.0046	0.0046	0.0046	0.0045	0.0045	0.0044	0.0044	0.0043	0.0043	0.0043	0.0043	0.0043	0.0042	0.0041	0.0041	0.0040	5°
10°	0.0197	0.0190	0.0185	0.0182	0.0181	0.0179	0.0178	0.0176	0.0175	0.0173	0.0172	0.0170	0.0169	0.0167	0.0166	0.0164	0.0161	0.0158	10°
15°	0.0442	0.0425	0.0415	0.0408	0.0405	0.0401	0.0398	0.0395	0.0392	0.0388	0.0385	0.0381	0.0378	0.0374	0.0371	0.0368	0.0361	0.0354	15°
20°	0.0778	0.0749	0.0732	0.0720	0.0714	0.0708	0.0703	0.0697	0.0692	0.0685	0.0679	0.0673	0.0667	0.0662	0.0656	0.0650	0.0638	0.0626	20°
25°	0.1205	0.1160	0.1133	0.1116	0.1107	0.1098	0.1089	0.1080	0.1071	0.1062	0.1053	0.1044	0.1035	0.1026	0.1017	0.1008	0.0991	0.0973	25°
30°	0.1715	0.1652	0.1615	0.1590	0.1578	0.1565	0.1553	0.1540	0.1528	0.1515	0.1503	0.1490	0.1478	0.1465	0.1453	0.1440	0.1415	0.1390	30°
35°	0.2302	0.2219	0.2170	0.2137	0.2121	0.2104	0.2088	0.2071	0.2055	0.2038	0.2022	0.2005	0.1989	0.1973	0.1956	0.1940	0.1907	0.1874	35°
40°	0.2960	0.2856	0.2794	0.2753	0.2733	0.2712	0.2691	0.2670	0.2650	0.2629	0.2609	0.2588	0.2568	0.2547	0.2526	0.2505	0.2464	0.2423	40°
45°	0.3679	0.3554	0.3479	0.3429	0.3404	0.3379	0.3354	0.3329	0.3304	0.3279	0.3254	0.3229	0.3204	0.3179	0.3154	0.3129	0.3029	0.3029	45°
50°	0.4452	0.4306	0.4217	0.4159	0.4130	0.4100	0.4071	0.4041	0.4012	0.3983	0.3954	0.3924	0.3895	0.3865	0.3836	0.3807	0.3748	0.3689	50°
55°	0.5270	0.5103	0.5002	0.4935	0.4902	0.4868	0.4835	0.4801	0.4768	0.4734	0.4701	0.4667	0.4634	0.4600	0.4566	0.4532	0.4465	0.4398	55°
60°	0.6125	0.5938	0.5825	0.5750	0.5713	0.5675	0.5638	0.5600	0.5563	0.5525	0.5488	0.5450	0.5413	0.5375	0.5338	0.5300	0.5225	0.5150	60°
65°	0.7006	0.6801	0.6678	0.6595	0.6554	0.6513	0.6472	0.6431	0.6390	0.6349	0.6308	0.6267	0.6226	0.6185	0.6144	0.6103	0.6020	0.5938	65°
70°	0.7904	0.7684	0.7551	0.7463	0.7419	0.7375	0.7331	0.7286	0.7242	0.7198	0.7154	0.7110	0.7066	0.7022	0.6978	0.6933	0.6845	0.6757	70°
75°	0.8812	0.8578	0.8438	0.8345	0.8299	0.8252	0.8205	0.8158	0.8112	0.8065	0.8019	0.7972	0.7925	0.7878	0.7831	0.7785	0.7692	0.7539	75°
80°	0.9718	0.9475	0.9331	0.9233	0.9185	0.9136	0.9088	0.9039	0.8991	0.8942	0.8894	0.8845	0.8797	0.8748	0.8700	0.8651	0.8554	0.8457	80°
85°	1.0617	1.0368	1.0220	1.0120	1.0071	1.0021	0.9972	0.9922	0.9873	0.9823	0.9773	0.9723	0.9674	0.9624	0.9574	0.9525	0.9426	0.9326	85°
90°	1.1500	1.1250	1.1100	1.1000	1.0950	1.0900	1.0850	1.0800	1.0750	1.0700	1.0650	1.0600	1.0550	1.0500	1.0450	1.0400	1.0350	1.0200	90°